

PHILIPS „MINIWATT“

Heizspannung	V_f	= ca. env. 20 V appr.
Tension de chauffage		
Filament voltage		
Heizstrom	I_f	= 0,180 A
Courant de chauffage		
Filament current		
Anodenspannung	V_a max.	= 200 V
Tension anodique		
Anode voltage		
Schirmgitterspannung	V_g/l	= 100 V
Tension de grille-écran		
Screen-grid voltage		
Normaler Anodenstrom	I_a	= 3 mA
Courant anodique normal		
Normal anode current		
Neg. Gittervorspannung	V_g	= ca. env. 2 V appr.
Polarisation négative de grille		
Negative grid bias		
Verstärkungsfaktor	$g(k)$	= 5000
Coefficient d'amplification		
Amplification factor		
Steilheit (max.)	$S_{\text{max.}}$	= 3,5 mA/V
Inclinaison (max.)		
Slope (max.)		
Steilheit (norm.)	$S_{\text{norm.}}$	= 2,2 mA/V
Inclinaison (norm.)		
Slope (norm.)		
Innerer Widerstand (norm.)	R_i	= 2 M.Ohm
Résistance intérieure (norm.)		
Internal resistance (norm.)		
Anoden-Gitterkapazität	C_{ag}	= 0,002 $\mu\mu\text{F}$
Capacité grille-plaque		
Anode-grid capacity		
Max. Länge	l	= 138 mm
Longueur max.		
Overall length		
Grösster Durchmesser	d	= 51 mm
Diamètre max.		
Max. diameter		
Sockel		= 0 35
Culot		
Base		
Sockelschaltung		= S XVI
Connexion du culot		
Base connection		
Anwendung: H.F.-Verstärkung	$Z.F.$ -Verstärkung	
Applications: Amplification h.f.	Amplification m.f.	
Function: H.F. amplification	I.F. amplification	
Anodengleichrichtung		
Détection par caractéristique plaque		
Anode bend detector		
N.F.-Verstärker mit Widerstandskopplung		
Amplificateur b.f. avec couplage par résistance		
L.F. amplifier with resistance coupling		

**PHILIPS
MINIWATT
B 2046**

$V_f = 20V$
 $V_{a\max} = 200V$
 $V_{g'} = 100V$
 $I_a = 3mA$
 $S_{\max} = 3,5mA/V$
 $S_{norm} = 2,2mA/V$
 $g(k) = 5000$

$I_a (mA)$

10

$V_a = 75-200V$
 $V_{g'} = 100V$

8

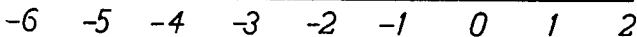
$V_a = 50-200V$
 $V_{g'} = 75V$

6

4

2

$V_g (V)$



PHILIPS „MINIWATT“

Max. Anodenspannung	V_{ao}	= 250 V
Tension anodique max.	V_{aR}	= 250 V
Max. anode voltage	V_{aL}	= 200 V
Max. Anodenbelastung	W_a	= 1,0 W
Dissipation anodique max.		
Max. anode dissipation		
Max. Kathodenstrom	I_c	= 10 mA
Courant cathodique max.		
Max. cathode current		
Max. Schirmgitterspannung	$V_{g'o}$	= 250 V
Tension de grille-écran max.	$V_g^{'o}$	= 1,5 x V_a
Max. screen-grid voltage	V_g'	max. 200 V
Max. Schirmgitterbelastung	W_g^{*l}	= 0,3 W
Dissipation de grille-écran max.		
Max. screen-grid dissipation		
Mittlerer Schirmgitterstrom	I_g^l	
Courant de grille-écran moyen		= 1,2 mA
Average screen-grid current		
Ungefährre Grenzw. des Schirmgitterstr. I_g^l min.		= 0,8 mA
Limites approxim. du cour. de gr. écran I_g^l min.		= 0,8 mA
Approx. limits of screen-grid current	I_g^l max.	= 1,6 mA
Gitterstrom-Einsatzpunkt		
Point de commenc. du cour. de grille V_{gi}		= -1,3 V
Starting point of grid current		
Max. Widerstand im Gitterkreis	R_{g1}	= 1,5 M.Ohm
Résistance max. dans le circuit de grille		= 1,0 M.Ohm
Max. resistance in grid circuit	R_{g2}	
Max. Spann. zwischen Faden und Kath.		
Tension max. entre filament et cathode V_{fc}		= 100 V
Max. voltage between filam. and cathode		
Max. Widerst. zwischen Faden und Kath.		
Résist. max. entre filament et cathode R_{fc}		= 20000 Ohm
Max. resist. betw. filament and cathode		
Kapazitäten	C_g	= 12,5 $\mu\mu$ F
Capacités	C_a	= 10,2 $\mu\mu$ F
Capacities	C_{ag}	< 0,006 $\mu\mu$ F

**PHILIPS
MINIWATT
B 2046**

$V_f = 20V$
 $V_{a\max} = 200V$
 $V_{g'} = 100V$
 $I_a = 3mA$
 $S_{\max} = 3,5mA/V$
 $S_{norm} = 2,4mA/V$
 $g(k) = 5000$

$I_a (mA)$

10

$V_a = 75-200V$
 $V_{g'} = 100V$

8

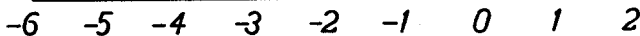
$V_a = 50-200V$
 $V_g = 75V$

6

4

2

$V_g (V)$



PHILIPS „MINIWATT“

Max. Anodenspannung	V_{ao}	= 250 V
Tension anodique max.	V_{aR}^a	= 250 V
Max. anode voltage	V_{aL}^a	= 200 V
Max. Anodenbelastung	W_a	= 1,0 W
Dissipation anodique max.		
Max. anode dissipation		
Max. Kathodenstrom	I_c	= 10 mA
Courant cathodique max.		
Max. cathode current		
Max. Schirmgitterspannung	$V_{g^I o}$	= 250 V
Tension de grille-écran max.		
Max. screen-grid voltage	$V_{g^I}^a$	= $\frac{a}{\text{max.}} 200$ V
Max. Schirmgitterbelastung	W_g^I	= 0,3 W
Dissipation de grille-écran max.		
Max. screen-grid dissipation		
Mittlerer Schirmgitterstrom	I_g^I	= 1,1 mA
Courant de grille-écran moyen		
Average screen-grid current		
Ungefähr Grenzw. des Schirmgitterstr.	I_g^I min.	= 0,8 mA
Limites approxim. du cour. de gr.-écran		
Approx. limits of screen-grid current	I_g^I max.	= 1,4 mA
Gitterstrom-Einsatzpunkt	V_{gi}	= -1,3 V
Point de commenc. du courant de grille		
Starting point of grid current		
Max. Widerstand im Gitterkreis	R_{g1}	= 1,5 M.Ohm
Résistance max. dans le circuit de grille		
Max. resistance in grid circuit	R_{g2}	= 1. M.Ohm
Max. Spann. zwischen Faden und Kath.	V_{fc}	= 100 V
Tension max. entre filament et cathode		
Max. voltage between filam. and cathode		
Max. Widerst. zwischen Faden und Kath.	R_{fc}	= 20000 Ohm
Résist. max. entre filament et cathode		
Max. resist. betw. filament and cathode		
Kapazitäten	C_g	= 12,5 $\mu\mu\text{F}$
Capacités	C_a	= 9,9 $\mu\mu\text{F}$
Capacities	C_{ag}	= 0,002 $\mu\mu\text{F}$

I_a (mA)

